

$^{51}\text{V}(^{28}\text{Si},2\text{p}2\text{n}\gamma)$  **2009Mu16**

Type	Author	Citation	Literature Cutoff Date
Full Evaluation	Alexandru Negret, Balraj Singh	NDS 114, 841 (2013)	30-Jun-2013

$^{28}\text{Si}$  beam produced at E=115 MeV by the 15UD Pelletron at the Inter University Accelerator Centre in New Delhi. The  $\gamma$ 's were detected using the Gamma Detector Array (GDA), consisting of 12 HPGe detectors (at 51, 98 and 144 angle with the beam axis) with a 14 element BGO multiplicity filter. Measured  $E\gamma$ ,  $I\gamma$ ,  $\gamma\gamma$ - coincidence, lifetimes using the Doppler shift attenuation method.

 $^{75}\text{Br}$  Levels[Additional information 1.](#)

E(level)	$J^\pi @$	$T_{1/2} \dagger$	Comments
0 <sup>c</sup>	3/2 <sup>-</sup>		
119 <sup>b</sup>	(5/2 <sup>-</sup> )		
132 <sup>&amp;</sup>	(5/2) <sup>+</sup>		
155 <sup>a</sup>	(3/2) <sup>+</sup>		
220 <sup>&amp;</sup>	(9/2) <sup>+</sup>	31.7 <sup>‡</sup> ns 3	T <sub>1/2</sub> : <a href="#">2009Mu16</a> quote 26.3 ns <i>14</i> with an incorrect source reference. <a href="#">Additional information 2.</a> Q <sub>t</sub> =3.5 9.
374 <sup>a</sup>	(7/2 <sup>+</sup> )	57 <sup>‡</sup> ps 5	Q <sub>t</sub> =1.78 20.
518 <sup>c</sup>	(7/2 <sup>-</sup> )		
773 <sup>b</sup>	(9/2 <sup>-</sup> )	4.0 <sup>‡</sup> ps 4	Q <sub>t</sub> =2.2 +2-3.
783 <sup>&amp;</sup>	(13/2 <sup>+</sup> )	4.7 <sup>‡</sup> ps 4	Q <sub>t</sub> =2.6 3.
940 <sup>a</sup>	(11/2 <sup>+</sup> )	4.6 <sup>‡</sup> ps 9	Q <sub>t</sub> =1.99 +11-10.
1150 <sup>c</sup>	(11/2 <sup>-</sup> )		
1516 <sup>b</sup>	(13/2 <sup>-</sup> )	0.9 <sup>‡</sup> ps 3	Q <sub>t</sub> =3.2 +8-11.
1613 <sup>&amp;</sup>	(17/2 <sup>+</sup> )	0.78 ps +11-15	Q <sub>t</sub> =2.37 +17-22.
1791 <sup>a</sup>	(15/2 <sup>+</sup> )	0.75 ps 15	Q <sub>t</sub> =2.29 +2-3.
1897 <sup>c</sup>	(15/2 <sup>-</sup> )		
2355 <sup>b</sup>	(17/2 <sup>-</sup> )	0.80 ps +18-15	Q <sub>t</sub> =2.3 +4-5.
2658 <sup>&amp;</sup>	(21/2 <sup>+</sup> )	0.28 ps 6	Q <sub>t</sub> =2.18 +23-26.
2756 <sup>c</sup>	(19/2 <sup>-</sup> )		
2863 <sup>a</sup>	(19/2 <sup>+</sup> )	0.326 <sup>#</sup> ps 35	Q <sub>t</sub> =1.92 +23-20.
3274 <sup>b</sup>	(21/2 <sup>-</sup> )	0.49 ps +11-10	Q <sub>t</sub> =2.4 3.
3777 <sup>c</sup>	(23/2 <sup>-</sup> )		
3868 <sup>&amp;</sup>	(25/2 <sup>+</sup> )	97 fs 21	Q <sub>t</sub> =2.6 3.
4136 <sup>a</sup>	(23/2 <sup>+</sup> )		
4198	(25/2 <sup>+</sup> )	0.243 <sup>#</sup> ps +21-28	Q <sub>t</sub> =1.03 +6-4.
4349 <sup>b</sup>	(25/2 <sup>-</sup> )	0.21 ps +5-4	Q <sub>t</sub> =2.4 +5-4.
4968 <sup>c</sup>	(27/2 <sup>-</sup> )		
5188 <sup>&amp;</sup>	(29/2 <sup>+</sup> )	0.118 ps +28-21	Q <sub>t</sub> =1.86 +23-20.
5524	(29/2 <sup>+</sup> )		
5602 <sup>b</sup>	(29/2 <sup>-</sup> )	0.12 ps 3	Q <sub>t</sub> =2.1 3.
6234 <sup>c</sup>	(31/2 <sup>-</sup> )		
6624 <sup>&amp;</sup>	(33/2 <sup>+</sup> )	55 fs 14	Q <sub>t</sub> =2.2 3.
6937 <sup>b</sup>	(33/2 <sup>-</sup> )	62 fs +21-14	Q <sub>t</sub> =2.5 +2-5.
8270 <sup>&amp;</sup>	(37/2 <sup>+</sup> )	21 fs +7-6	Q <sub>t</sub> =2.5 +4-6.
8331 <sup>b</sup>	(37/2 <sup>-</sup> )	21 fs 7	Q <sub>t</sub> =3.9 +5-14.

Continued on next page (footnotes at end of table)

$^{51}\text{V}({}^{28}\text{Si}, 2\text{p}2\text{n}\gamma)$  **2009Mu16 (continued)** $^{75}\text{Br}$  Levels (continued)

E(level)	$J^\pi @$	$T_{1/2} \dagger$		Comments
9881 <sup>b</sup>	(41/2 <sup>-</sup> )	13.9 fs 35	$Q_t=3.6$ 9.	
10146 <sup>&amp;</sup>	(41/2 <sup>+</sup> )	0.09 <sup>#</sup> ps +1-5	$Q_t=0.87$ +20-7.	
11649 <sup>b</sup>	(45/2 <sup>-</sup> )	0.13 <sup>#</sup> ps +1-5	$Q_t=0.9$ +9-1.	
12100 <sup>&amp;</sup>	(45/2 <sup>+</sup> )			

<sup>†</sup> From DSAM (2009Mu16), unless otherwise stated.<sup>‡</sup> From Adopted Levels for  $^{75}\text{Br}$ .

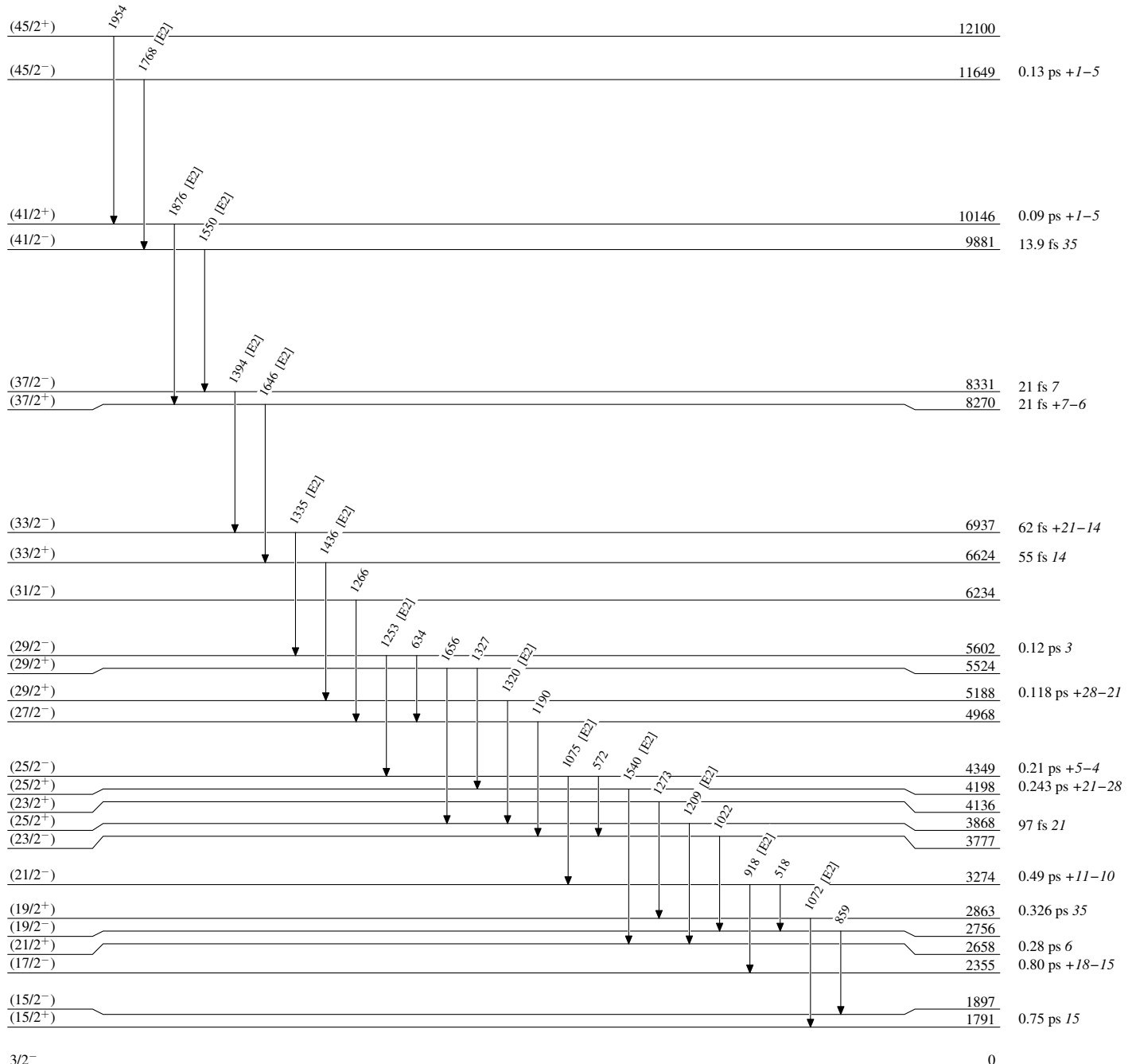
# Effective half-life without correction for side feeding.

@ As proposed in 2009Mu16.

& Band(A): Band based on (5/2)<sup>+</sup>.<sup>a</sup> Band(B): Band based on (3/2)<sup>+</sup>.<sup>b</sup> Band(C): Band based on (5/2<sup>-</sup>).<sup>c</sup> Band(D): Ground state band. $\gamma(^{75}\text{Br})$ 

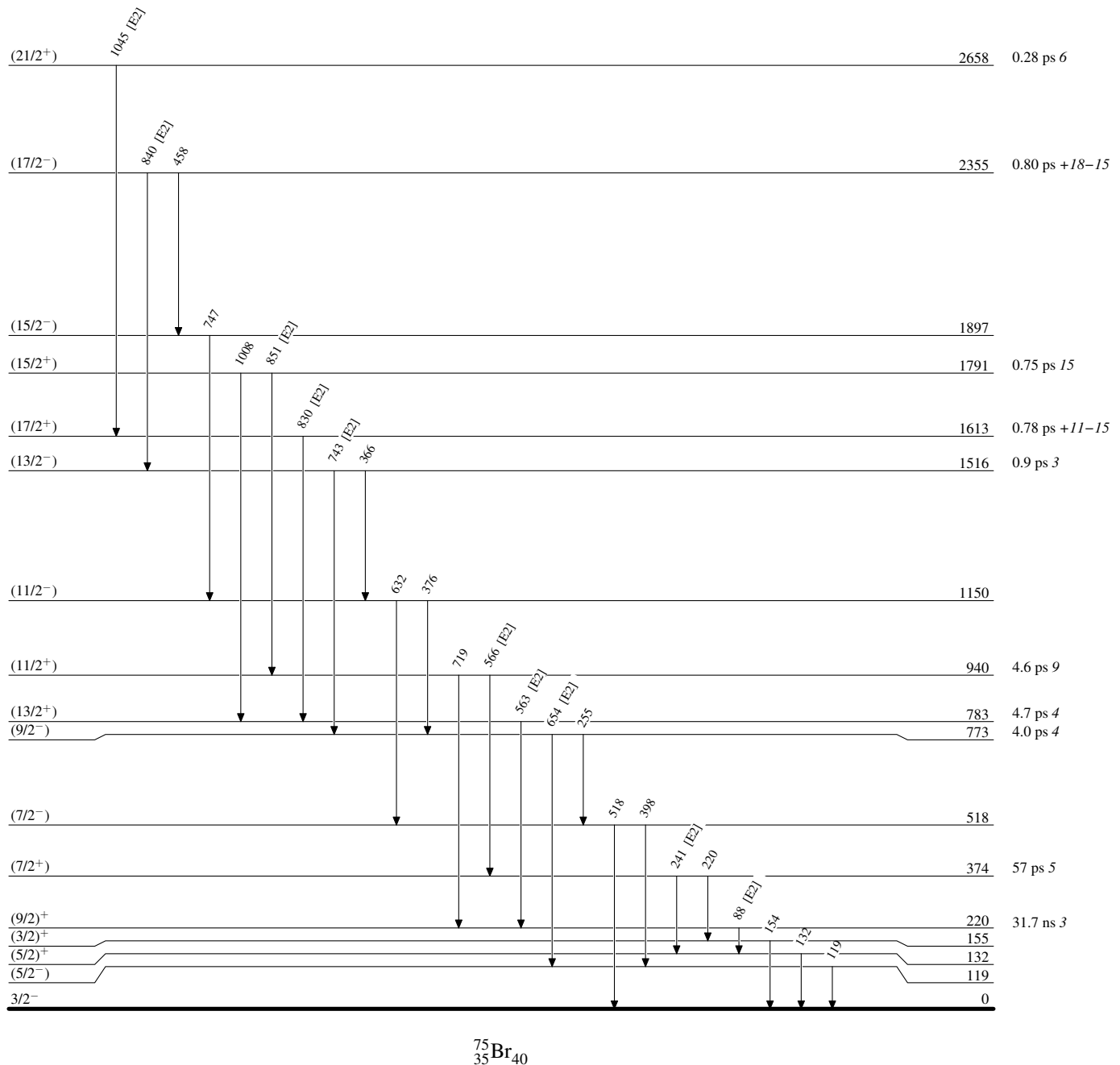
2009Mu16 extract B(E2) values for  $\Delta J=2$ , E2 transitions in their Table 1, but the evaluators cannot reproduce some of their values using their lifetimes and gamma-branching ratios from the Adopted dataset. It is possible that 2009Mu16 used a different set of gamma-branching ratios.

$E_\gamma$	$E_i(\text{level})$	$J_i^\pi$	$E_f$	$J_f^\pi$	Mult.	$E_\gamma$	$E_i(\text{level})$	$J_i^\pi$	$E_f$	$J_f^\pi$	Mult.
88	220	(9/2) <sup>+</sup>	132	(5/2) <sup>+</sup>	[E2]	859	2756	(19/2 <sup>-</sup> )	1897	(15/2 <sup>-</sup> )	
119	119	(5/2 <sup>-</sup> )	0	3/2 <sup>-</sup>		918	3274	(21/2 <sup>-</sup> )	2355	(17/2 <sup>-</sup> )	[E2]
132	132	(5/2) <sup>+</sup>	0	3/2 <sup>-</sup>		1008	1791	(15/2 <sup>+</sup> )	783	(13/2 <sup>+</sup> )	
154	155	(3/2) <sup>+</sup>	0	3/2 <sup>-</sup>		1022	3777	(23/2 <sup>-</sup> )	2756	(19/2 <sup>-</sup> )	
220	374	(7/2 <sup>+</sup> )	155	(3/2) <sup>+</sup>		1045	2658	(21/2 <sup>+</sup> )	1613	(17/2 <sup>+</sup> )	[E2]
241	374	(7/2 <sup>+</sup> )	132	(5/2) <sup>+</sup>	[E2]	1072	2863	(19/2 <sup>+</sup> )	1791	(15/2 <sup>+</sup> )	[E2]
255	773	(9/2 <sup>-</sup> )	518	(7/2 <sup>-</sup> )		1075	4349	(25/2 <sup>-</sup> )	3274	(21/2 <sup>-</sup> )	[E2]
366	1516	(13/2 <sup>-</sup> )	1150	(11/2 <sup>-</sup> )		1190	4968	(27/2 <sup>-</sup> )	3777	(23/2 <sup>-</sup> )	
376	1150	(11/2 <sup>-</sup> )	773	(9/2 <sup>-</sup> )		1209	3868	(25/2 <sup>+</sup> )	2658	(21/2 <sup>+</sup> )	[E2]
398	518	(7/2 <sup>-</sup> )	119	(5/2 <sup>-</sup> )		1253	5602	(29/2 <sup>-</sup> )	4349	(25/2 <sup>-</sup> )	[E2]
458	2355	(17/2 <sup>-</sup> )	1897	(15/2 <sup>-</sup> )		1266	6234	(31/2 <sup>-</sup> )	4968	(27/2 <sup>-</sup> )	
518	518	(7/2 <sup>-</sup> )	0	3/2 <sup>-</sup>		1273	4136	(23/2 <sup>+</sup> )	2863	(19/2 <sup>+</sup> )	
518	3274	(21/2 <sup>-</sup> )	2756	(19/2 <sup>-</sup> )		1320	5188	(29/2 <sup>+</sup> )	3868	(25/2 <sup>+</sup> )	[E2]
563	783	(13/2 <sup>+</sup> )	220	(9/2) <sup>+</sup>	[E2]	1327	5524	(29/2 <sup>+</sup> )	4198	(25/2 <sup>+</sup> )	
566	940	(11/2 <sup>+</sup> )	374	(7/2 <sup>+</sup> )	[E2]	1335	6937	(33/2 <sup>-</sup> )	5602	(29/2 <sup>-</sup> )	[E2]
572	4349	(25/2 <sup>-</sup> )	3777	(23/2 <sup>-</sup> )		1394	8331	(37/2 <sup>-</sup> )	6937	(33/2 <sup>-</sup> )	[E2]
632	1150	(11/2 <sup>-</sup> )	518	(7/2 <sup>-</sup> )		1436	6624	(33/2 <sup>+</sup> )	5188	(29/2 <sup>+</sup> )	[E2]
634	5602	(29/2 <sup>-</sup> )	4968	(27/2 <sup>-</sup> )		1540	4198	(25/2 <sup>+</sup> )	2658	(21/2 <sup>+</sup> )	[E2]
654	773	(9/2 <sup>-</sup> )	119	(5/2 <sup>-</sup> )	[E2]	1550	9881	(41/2 <sup>-</sup> )	8331	(37/2 <sup>-</sup> )	[E2]
719	940	(11/2 <sup>+</sup> )	220	(9/2) <sup>+</sup>		1646	8270	(37/2 <sup>+</sup> )	6624	(33/2 <sup>+</sup> )	[E2]
743	1516	(13/2 <sup>-</sup> )	773	(9/2 <sup>-</sup> )	[E2]	1656	5524	(29/2 <sup>+</sup> )	3868	(25/2 <sup>+</sup> )	
747	1897	(15/2 <sup>-</sup> )	1150	(11/2 <sup>-</sup> )		1768	11649	(45/2 <sup>-</sup> )	9881	(41/2 <sup>-</sup> )	[E2]
830	1613	(17/2 <sup>+</sup> )	783	(13/2 <sup>+</sup> )	[E2]	1876	10146	(41/2 <sup>+</sup> )	8270	(37/2 <sup>+</sup> )	[E2]
840	2355	(17/2 <sup>-</sup> )	1516	(13/2 <sup>-</sup> )	[E2]	1954	12100	(45/2 <sup>+</sup> )	10146	(41/2 <sup>+</sup> )	
851	1791	(15/2 <sup>+</sup> )	940	(11/2 <sup>+</sup> )	[E2]						

$^{51}\text{V}({}^{28}\text{Si}, 2\text{p}2\text{n}\gamma)$     **2009Mu16**Level Scheme

$^{51}\text{V}(^{28}\text{Si},2\text{p}2\text{n}\gamma)$  2009Mu16

## Level Scheme (continued)



$^{51}\text{V}(^{28}\text{Si},2\text{p}2\text{n}\gamma)$  2009Mu16

Band(A): Band based on  
 $(5/2)^+$

$(45/2^+)$  12100

1954

$(41/2^+)$  10146

1876

$(37/2^+)$  8270

1646

$(33/2^+)$  6624

1436

$(29/2^+)$  5188

1320

$(25/2^+)$  3868

1209

$(21/2^+)$  2658

1045

$(17/2^+)$  1613

830

$(13/2^+)$  783

563

$(9/2)^+$  220

$(5/2)^+$  88

Band(C): Band based on  
 $(5/2^-)$

$(45/2^-)$  11649

1768

$(41/2^-)$  9881

1550

$(37/2^-)$  8331

1394

$(33/2^-)$  6937

1335

$(29/2^-)$  5602

1253

$(25/2^-)$  4349

1075

$(21/2^-)$  3274

918

$(17/2^-)$  2355

840

$(13/2^-)$  1516

743

$(9/2^-)$  773

654

$(5/2^-)$  119

Band(D): Ground state  
band

$(31/2^-)$  6234

1266

$(27/2^-)$  4968

1190

$(23/2^-)$  3777

1022

$(19/2^-)$  2756

859

$(15/2^-)$  1897

747

$(11/2^-)$  1150

632

$(7/2^-)$  518

518

0